

# 单模光纤激光器耦合损耗分析

王 劲 程瑞华 千福熹

(中国科学院上海光机所, 上海 201800)

**摘要** 用函数逼近方法, 将单模光纤中的光场分解为若干个高斯光束的迭加。在此基础上讨论了光纤端面相距反射镜为  $L$  时的耦合损耗。解释了实验中观测到的光纤耦合损耗行为。

**关键词** 单模光纤激光器, 耦合损耗

## 1 引言

光纤型激光器作为波导器件的一种, 大部分采用了 Fabry-Perot 腔, 即将光纤端面紧贴于激光腔片上。因而分析这种情况下的耦合损耗(butted loss)具有一定的实际意义。在普通的波导激光器中已有耦合损耗的讨论, 可是由于光纤是波长量级的波导, 根据理论分析, 光纤的外层中仍有能量分布, 因此如果再类似于普通波导那样将外层能量忽略不计将不再合理。本文中将光纤中的场分布作为一个整体统一考虑, 以期获得更为符合实际的处理结果。考虑到分析的方便和实际中大部分光纤激光器为单模, 故下面以单模光纤激光器为主。

## 2 理论分析

对于弱传导阶跃形光纤, 通常用 LP 模近似描述光纤中的光场行为<sup>[1]</sup>。LP 模的横向电场分量由下式给出<sup>[2]</sup>

$$E_{v\mu} = \begin{cases} J_v\left(\frac{u}{a}r\right) \exp(iv\varphi) \exp(-i\beta z) & r \leq a \\ \frac{J_v(u)}{K_v(w)} K_v\left(\frac{w}{a}r\right) \exp(iv\varphi) \exp(-i\beta z) & r > a \end{cases} \quad (1)$$

式中  $J_v$ ,  $K_v$  分别为  $v$  阶 Bessel 函数和变型的 Bessel 函数,  $a$  为芯半径,  $u = a \sqrt{k_0^2 n_1^2 - \beta^2}$ ,  $w = a \sqrt{\beta^2 - k_0^2 n_2^2}$ ,  $k_0 = 2\pi/\lambda$ 。对于单模光纤, 其场分布为

$$\text{LP}_{01} = \begin{cases} J_0\left(\frac{u}{a}r\right) \exp(-i\beta z) & r \leq a \\ \frac{J_0(u)}{K_0(w)} K_0\left(\frac{w}{a}r\right) \exp(-i\beta z) & r > a \end{cases} \quad (2)$$

式中  $u$ ,  $w$  由下列本征方程求得<sup>[3]</sup>

$$\frac{wK_1(w)}{K_0(w)} = \frac{uJ_1(u)}{J_0(u)} \quad (3)$$

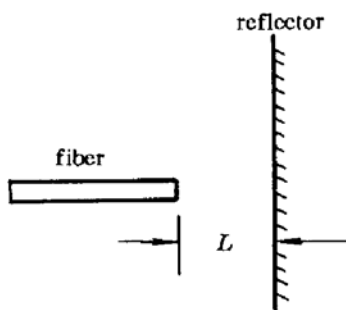


Fig. 1 A part of a F-P cavity of a fiber laser. The distance between the fiber end and the mirror is  $L$

考虑图 1 的情况,腔镜为一足够大的平面镜,反射率为 1,光纤端面距离反射镜为  $L$ 。由于对  $LP_{01}$  模在自由空间的传播规律尚不清楚,因此在处理上必须用某些波动函数逼近  $LP_{01}$  模。而这些函数的传播规律又是已知的。最适宜的是拉盖尔-高斯函数(以下称 L-G 函数)。它不仅有确定的传播规律,而且还在  $r \in (0, \infty)$  上正交。取

$$X_m(r, \omega_0) = \sqrt{\frac{2}{\pi}} \frac{1}{\omega_0} L_m\left(\frac{2r^2}{\omega_0^2}\right) \exp\left(-\frac{r^2}{\omega_0^2}\right) \quad (4)$$

式中  $L_m$  为  $m$  阶拉盖尔函数,  $\omega_0$  为光束的束腰,  $\sqrt{2/\pi}(1/\omega_0)$  为归一化系数。则光纤端面上的场分布可表示为

$$LP_{01} = \sum_{m=0}^{\infty} A_m(\omega_0) X_m(r, \omega_0) \quad (5)$$

式中

$$A_m(\omega_0) = \int_0^{\infty} LP_{01} X_m(r, \omega_0) 2\pi r dr \quad (6)$$

表示了第  $m$  个 L-G 光束的分振幅。将(2)式代入,得

$$A_m(\omega_0) = \int_0^a J_0\left(\frac{u}{a}r\right) X_m(r, \omega_0) 2\pi r dr + \frac{J_0(u)}{K_0(w)} \int_a^{\infty} K_0\left(\frac{w}{a}r\right) X_m(r, \omega_0) 2\pi r dr \quad (7)$$

(5) 式为一无穷级数。为使其收敛得足够快,取  $\omega_0$  使得  $A_0(\omega_0)$  最大,即

$$\frac{dA_0(\omega_0)}{d\omega_0} = 0 \quad (8)$$

将(7)式代入(8)式得

$$A_1(\omega_0) = 0 \quad (9)$$

解此方程可求得  $\omega_0$ 。

对于单模光纤,归一化频率  $v < 2.405$ 。取  $v = 2.4$ ,本征方程(3)的近似解为<sup>[2]</sup>

$$\begin{cases} u = (1 + \sqrt{2})v / (1 + \sqrt[4]{4 + v^4}) \\ w = v^2 - u^2 \end{cases} \quad (10)$$

代入(9)式,得方程解为

$$\omega_0/a = 1.083 \quad (11)$$

从实用的观点看,当级数收敛得足够快时,则(5)式可用有限次迭加近似  $LP_{01}$ 。我们关心的是能量的变化情况, $LP_{01}$  模在端面的总能量为

$$P_{\text{tot}} = \int_0^a J_0^2\left(\frac{u}{a}r\right) 2\pi r dr + \int_a^{\infty} \frac{J_0^2(u)}{K_0^2(w)} K_0^2\left(\frac{w}{a}r\right) 2\pi r dr \quad (12)$$

而前  $m$  项 L-G 光束的能量为

$$P_{\leq m} = \sum_{i=0}^m |A_i(\omega_0)|^2 \quad (13)$$

将(6),(11)式代入,可求得能量比

$$T = P_{\leq m}/P_{\text{tot}}$$

的值。计算结果表明,当  $m$  取至 5 时,  $T \sim 99.99\%$ 。故在(5)式中只需取 6 项,则认为迭加是足够的。表 1 给出了  $A_0 \sim A_5$  的计算值。

Table 1 Amplitude components of a L-G beam for  $v = 2.4$ 

$A_0(\omega_0) = 1.3773a$	$A_1(\omega_0) = -6.9018 \times 10^{-5}a$	$A_2(\omega_0) = 6.1751 \times 10^{-2}a$
$A_3(\omega_0) = -4.8929 \times 10^{-2}a$	$A_4(\omega_0) = -1.3918 \times 10^{-2}a$	$A_5(\omega_0) = -2.4789 \times 10^{-2}a$
$P_{\text{tot}} = 1.9041a^2$	$P_{\text{tot}} = 1.9043a^2$	

Note:  $a$  is the core radius of the fiber.

这样我们以有限个 L-G 光束拟合了光纤端面的  $\text{LP}_{01}$  分布。进而认为  $\text{LP}_{01}$  模在自由空间中某一点的场分布也是由这些 L-G 光束的迭加表示出来。下面据此讨论腔镜对  $\text{LP}_{01}$  的耦合损耗。

根据高斯光束的传播规律, 返回光纤端面的光束为

$$X'_m(r, \omega) = \sqrt{\frac{2}{\pi}} \frac{1}{\omega} L_m\left(\frac{2r^2}{\omega^2}\right) \exp\left(-\frac{r^2}{\omega^2}\right) \exp[-2i(2m+1)\arctg(L/f)] \quad (14)$$

式中  $\omega = \omega_0[1 + (2L/f)^2]^{1/2}$ ,  $f = \pi\omega_0^2/\lambda$ ,  $\sqrt{2/\pi}(1/\omega)$  仍是保证  $X'_m(r, \omega)$  正交归一的系数。因此返回的光场在光纤端面的光场为

$$E'(r) = \sum_{m=0}^5 A_m(\omega_0) X'_m(r, \omega) \quad (15)$$

式中已认为各 L-G 光束在传播过程中的振幅保持不变。定义耦合损耗

$$\delta = \frac{\text{芯径中出射的能量} - \text{返回到芯径上的能量}}{\text{芯径中出射的能量}} \quad (16)$$

将(14),(15)式代入(16)式, 得

$$\delta = 1 - \frac{1}{P_{\text{core}}} \sum_{i,j} A_i(\omega_0) A_j(\omega_0) \cos[4(i-j)\arctg(L/f)] \int_0^v L_i(x) L_j(x) e^{-x} dx \quad (17)$$

式中  $v = 2a^2/\omega_0^2[1 + (2L/f)^2]$ 。

### 3 结果与讨论

表 1 给出了  $v = 2.4$  时  $A_0 \sim A_5$  的计算值。利用这些结果, 代入(17)式得到了耦合损耗(图 2)。当  $L/f \leq 0.03$ , 基本可认为耦合为零, 随着  $L/f$  的增加, 损耗增长很快, 而且当  $L/f > 0.25$  时, 呈现加速增长趋势。在  $L/f \leq 0.25$  阶段, 单位  $L/f$  的变化引入约 2.3 dB 的损耗, 而当  $L/f > 0.25$  时, 单位  $L/f$  的变化引起的损耗约 5 dB,  $L/f$  对损耗的影响主要表现在两个方面, 一是由于光在距离  $L$  上引入的位相变化导致的损耗, 另一就是高斯光束在空间的衍射引起的。因为高斯光束被限制在很小的范围内 [从(11)式可看出,  $\omega_0$  与  $a$  在同一数量级], 即使很小的传播距离, 其衍射效应也是明显的。根据平面镜的对称性, 返回的高斯光束可以认为是距光纤端面  $2L$  处的场传播到光纤后的分布, 所以有  $\omega = \omega_0[1 + (2L/f)^2]^{1/2}$ , 当  $L/f \leq 0.25$  时, 上式可近似为  $\omega = \omega_0[1 + 2(L/f)^2]$ , 则  $\omega$  相对于  $L/f$  的变化速率  $d\omega/d(L/f) \propto 4L/f$ , 而当  $L/f > 0.25$  时, 变化速率为  $4L/f[1 + 4(L/f)^2]^{-1/2}$ 。由于在  $0.25 < L/f < 1$  范围内  $4L/f$  的变化比  $[1 + 4(L/f)^2]$  快, 因而损耗曲线的斜率逐渐变大, 呈现加速趋势。

$L/f$  对返回场的影响, 也从对  $\text{LP}_{01}$  模的拟合中反映出来。我们分别计算了  $v = 2.4, 2, 1.8, 1.5$  的能量比  $T$ , 发现对于前 6 项的值分别为 99.99%, 99.98%, 99.97% 和 99.95%。进而还就  $v = 1.5$  的情况进行了损耗计算, 在同样  $L/f$  值下, 损耗比  $v = 2.4$  的大。事实上, 当  $\lambda, a$  一

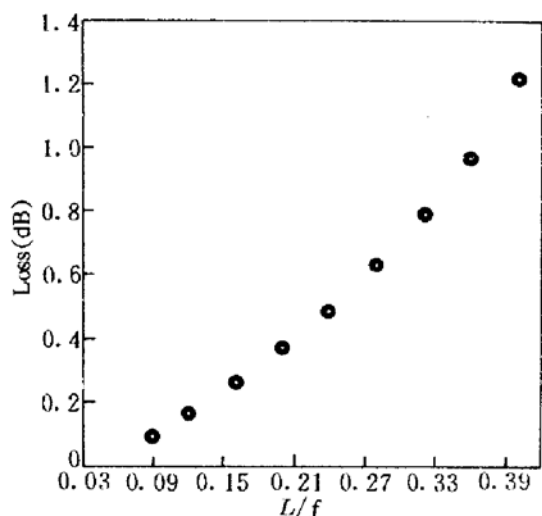


Fig. 2 The butted loss vs. the  $L/f$  for  $v = 2.4$

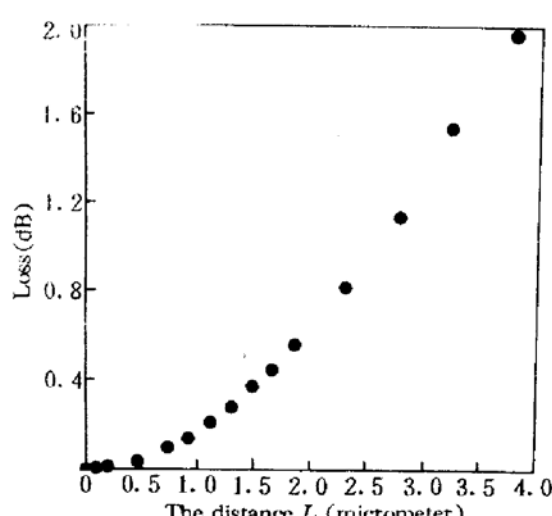


Fig. 3 The dependence of the butted loss on the  $L$ . The parameters used in the calculation refer to the text

定时,  $v$  越小, 表示能进入光纤芯中的光线范围越小, 即损耗越大。可以预见, 若用一凹面镜将  $\omega_0$  变换为某一适合的  $\omega$ , 则耦合损耗有可能降至一极小值。

最后我们计算了损耗相对于绝对距离  $L$  的变化。以单模石英光纤为例, 取参数  $2a = 2.7 \mu\text{m}$ ,  $N \cdot A = 0.24$ ,  $\lambda = 1.064 \mu\text{m}$ 。求得  $v = 1.91$ ,  $\omega_0 = 1.77 \mu\text{m}$ ,  $f = 9.25 \mu\text{m}$ 。计算的损耗见图 3, 可见即使存在微小的间隔( $\mu\text{m}$  量级), 耦合损耗也相当大了。这也说明了尽管光纤“紧贴”在腔片上, 仍会有 $\sim 2-4\%$ 的耦合损耗<sup>[4,5]</sup>。

综上所述, 以光束分解方法首次求得了单模光纤激光器的耦合损耗。结果表明, 由于光纤芯径对光束的极端约束, 使得出射场在自由空间中有相当的扩展, 成为引入损耗的重要因素, 以至于极微小距离也会导致很高的耦合损耗。从这个意义上讲, 这种耦合损耗是不可避免的。

### 参 考 文 献

- 1 D. Gloge. Weakly guiding fibers. *Appl. Opt.*, 1971, **10**: 2252
- 2 S. E. Miller, A. G. Chynoweth. *Optical fiber telecommunications*. New York: Academic Press, Inc., 1979
- 3 李景镇. 光学手册. 西安: 陕西科学技术出版社, 1986
- 4 P. R. Morkel, M. C. Farries, D. N. Payne. Losses in fiber laser cavities. *Electron. Lett.*, 1988, **2**: 92
- 5 T. Komukai, Y. Fukasaku, T. Sugawa et al.. Highly efficient and tunable Nd<sup>3+</sup> doped fluoride fiber laser operating in 1.3  $\mu\text{m}$  band. *Electron. Lett.*, 1993, **29**: 755

## The Analysis of Butted Loss in a Single-mode Fiber Laser

Wang Jie Cheng Rihua Gan Fuxi

(Shanghai Institute of Optics and Fine Mechanics, Academia Sinica, Shanghai 201800)

**Abstract** The electric field component of LP<sub>01</sub> mode at the end of a monomode fiber is expanded into a superposition of Gauss-Laguerre series in terms of the function approximation method. The butted loss has been calculated when the distance between the fiber end and the mirror is  $L$ . The butted loss measured in the experiments has thus been explained.

**Key words** monomode fiber laser, butted loss